

УДК 531.38+517.938.5

©2012. М.П. Харламов

**АНАЛИТИЧЕСКАЯ КЛАССИФИКАЦИЯ РАВНОМЕРНЫХ  
ВРАЩЕНИЙ ГИРОСТАТА КОВАЛЕВСКОЙ – ЯХЬЯ**

Представлено полное исследование множества равномерных вращений гиростата в случае интегрируемости Ковалевской – Яхья. Введено понятие классов эквивалентности относительно определяющих параметров, построено разделяющее множество. Для каждого класса вычислен тип особенности как тип неподвижной точки в приведенной системе, получен характер устойчивости, указана структура локального слоения Лиувилля.

**Ключевые слова:** гириостат Ковалевской – Яхья, равномерные вращения, устойчивость, круговая молекула.

**Введение.** Движение гиростата Ковалевской–Яхья описывается уравнениями

$$\begin{aligned} 2\dot{\omega}_1 &= \omega_2(\omega_3 - \lambda), & 2\dot{\omega}_2 &= -\omega_1(\omega_3 - \lambda) - \alpha_3, & \dot{\omega}_3 &= \alpha_2, \\ \dot{\alpha}_1 &= \alpha_2\omega_3 - \alpha_3\omega_2, & \dot{\alpha}_2 &= \alpha_3\omega_1 - \alpha_1\omega_3, & \dot{\alpha}_3 &= \alpha_1\omega_2 - \alpha_2\omega_1. \end{aligned} \quad (1)$$

Здесь  $\omega$  – угловая скорость,  $\alpha$  – вектор силового поля,  $\lambda > 0$  – гириостатический момент. Фазовое пространство  $P^5 = \mathbb{R}_\omega^3 \times S_\alpha^2$  определено в  $\mathbb{R}^6$  геометрическим интегралом  $\Gamma = \alpha^2$ , постоянная которого принимается равной единице. Первые интегралы системы таковы

$$\begin{aligned} H &= \omega_1^2 + \omega_2^2 + \frac{1}{2}\omega_3^2 - \alpha_1, & L &= \omega_1\alpha_1 + \omega_2\alpha_2 + \frac{1}{2}(\omega_3 + \lambda)\alpha_3, \\ K &= (\omega_1^2 - \omega_2^2 + \alpha_1)^2 + (2\omega_1\omega_2 + \alpha_2)^2 + 2\lambda[(\omega_3 - \lambda)(\omega_1^2 + \omega_2^2) + 2\omega_1\alpha_3]. \end{aligned}$$

Интеграл  $K$  указан в работе [1]. Система (1) имеет гамильтонову форму  $\dot{x} = \{H, x\}$  относительно скобки Ли–Пуассона на пространстве  $\mathbb{R}^6(\omega, \alpha)$ . Функции  $\Gamma$  и  $L$  являются аннуляторами скобки, поэтому на любом их совместном уровне  $P_\ell^4 = \{\Gamma = 1, L = \ell\}$  возникает гамильтонова система с двумя степенями свободы (приведенная система).

Аналитическому и топологическому исследованию системы (1) посвящено много работ. Основные из них указаны, например, в библиографии статьи [2]. Однако до сих пор нет строгой и полной классификации такого важного типа движений гиростата Ковалевской – Яхья, как равномерные вращения.

Известно, что в поле силы тяжести равномерные вращения (движения с постоянной угловой скоростью) возможны только вокруг вертикали, поэтому соответствующие значения пары  $(\omega, \alpha)$  являются неподвижными точками системы (1) и “положениями равновесия” в приведенных системах. В силу этого равномерные вращения называют также относительными равновесиями. Ниже относительным равновесием называется именно неподвижная

---

Работа выполнена при финансовой поддержке РФФИ (грант № 10-01-00043).

точка системы (1), а под характером устойчивости равномерного вращения понимается характер устойчивости соответствующей неподвижной точки в содержащей ее приведенной системе на  $P_\ell^4$ .

Равномерными вращениями гироскопов различных конфигураций занимались многие авторы. Вероятно, наиболее полное изложение истории вопроса можно найти в [3]. Некоторая информация об устойчивости относительных равновесий в случае Ковалевской – Яхья может быть получена из работы [4], где, в частности, приведены условия существования движений, асимптотических к семейству периодических траекторий, включающих и все относительные равновесия как точки бифуркации. Вопрос существования асимптотических движений для этого же семейства изучался в работе [5], но полученные в [5] условия сразу же следуют из результатов [4]. Однако в задаче классификации неподвижных точек интегрируемой системы информация о наличии или отсутствии асимптотических движений является недостаточной для строгого описания характера устойчивости. Гораздо более точными характеристиками являются тип неподвижной точки и ее круговая молекула. Тип точки полностью определяет детальное свойство устойчивости (количество переменных, по которым неподвижная точка устойчива или неустойчива, и соответствующие направления в фазовом пространстве), а круговая молекула описывает топологию системы в окрестности неподвижной точки с точностью до изоморфизма слоения на интегральные многообразия.

Цель настоящей работы – в терминах подходящих параметров определить понятие класса эквивалентности относительных равновесий гироскопа Ковалевской – Яхья, указать все разделяющие значения параметров, для каждого класса указать тип относительного равновесия как особой точки интегрируемой гамильтоновой системы, характер устойчивости, топологию совместного уровня первых интегралов, содержащего относительное равновесие, и возникающее в его окрестности слоение интегральных многообразий.

**1. Множество относительных равновесий.** Множество точек  $(\omega, \alpha)$  в  $P^5$ , отвечающих равномерным вращениям, т.е. множество относительных равновесий всех приведенных систем, обозначим через  $\mathcal{R}$ . Локально множество  $\mathcal{R}$  параметризовано значением  $\ell$  интеграла площадей (для приведенных систем относительные равновесия – это критические точки ранга 0). В то же время, на каждом  $P_\ell^4$  имеется конечное число точек  $\mathcal{R}$ , существенно меняющееся с изменением  $\ell$ , поэтому аналитические выражения в зависимости от  $\ell$  плохо подходят для исследований.

Известно, хотя специально это нигде не отмечено, что все равномерные вращения в случае Ковалевской – Яхья содержатся в семействе траекторий, отвечающем решению, найденному П.В. Харламовым в работе [6]. Это решение обобщает на гироскоп с осевой динамической симметрией и произвольным отношением осевого и экваториального моментов инерции случай интегрируемости Бобылева–Стеклова. Если первая ось инерции, как и в уравнениях (1), выбрана в направлении центра масс, а последний лежит в экваториальной плоскости, то соответствующее фазовое пространство задано системой инвариантных соотношений  $\{\omega_2 = 0, \dot{\omega}_2 = 0\}$ . В принятых здесь обозначениях

явные формулы решения [6, § 5.4] имеют вид

$$\begin{aligned} \omega_1 &= p_0, & \omega_2 &= 0, & \omega_3 &= r, \\ \alpha_1 &= p_0^2 + \frac{1}{2}r^2 - h, & \alpha_2 &= f(r), & \alpha_3 &= -p_0(r - \lambda), \end{aligned} \quad (2)$$

где  $h$  – произвольная постоянная интеграла энергии,  $p_0$  – свободный параметр,  $r$  – независимая переменная, подчиненная уравнению  $\dot{r} = f(r)$ , и

$$f^2(r) = -\frac{1}{4}r^4 - (2p_0^2 - h)r^2 + 2\lambda p_0^2 r + 1 - (p_0^2 - h)^2 - p_0^2 \lambda^2.$$

Относительное равновесие получим, если величина  $r$  постоянна и равна кратному корню многочлена  $f^2(r)$ . Тогда

$$\begin{aligned} \omega_1 &= \pm V, & \omega_2 &= 0, & \omega_3 &= r, \\ \alpha_1 &= \frac{1}{2} [r(r - \lambda) - d], & \alpha_2 &= 0, & \alpha_3 &= \mp (r - \lambda)V, \end{aligned} \quad (3)$$

где

$$d^2 = r^2(r - \lambda)^2 + 4, \quad V = \sqrt{\frac{r}{2} \left[ -r + \frac{1}{r - \lambda} d \right]} \geq 0.$$

Знаки  $\omega_1, \alpha_3$  согласованы (оба верхние или оба нижние). Изучая кривые пересечения бифуркационных поверхностей, И.Н. Гашененко [7] указал область изменения константы  $r$ , рассматриваемой как единственный свободный параметр, правило выбора знака  $d$ , а также явные выражения первых интегралов. Эти результаты непосредственно применимы к относительным равновесиям.

**Предложение 1** [7]. *Для относительных равновесий параметр  $r$  пробегает множество*

$$r \in (-\infty, 0] \cup [0, \lambda) \cup (\lambda, +\infty), \quad (4)$$

*знак  $d$  совпадает со знаком  $r(r - \lambda)$  при  $r \neq 0$  и произволен при  $r = 0$ , а значения первых интегралов таковы*

$$\begin{aligned} \ell &= \mp \frac{1}{2} [\lambda(r - \lambda) + d]V, & h &= -\frac{1}{2}r(r - \lambda) + \frac{2r - \lambda}{2(r - \lambda)}d, \\ k &= \frac{\lambda}{4(r - \lambda)^2} [r(r - \lambda) - d] [r(r - \lambda)(4r - 3\lambda) - \lambda d]. \end{aligned}$$

Из (3), (4) сразу же следует, что множество  $\mathcal{R}$  имеет ровно четыре связанных компоненты, гомеоморфных вещественной прямой при фиксированном  $\lambda > 0$ . В соответствии с промежутками изменения  $r$  введем обозначения для подмножеств в  $\mathcal{R}$ , определяемых формулами (3):

$$\begin{aligned} \mathcal{R}_1 : & \quad r \in [0, \lambda), & d &< 0, & \lim_{r \rightarrow +0} d &= -2, \\ \mathcal{R}_2 : & \quad r \in (-\infty, 0], & d &> 0, & \lim_{r \rightarrow -0} d &= 2, \\ \mathcal{R}_3 : & \quad r \in (\lambda, +\infty), & d &> 0. \end{aligned} \quad (5)$$

Первые два множества связны, последнее состоит из двух компонент, отличающихся знаком  $\omega_1$ . В  $\mathcal{R}_1$  и  $\mathcal{R}_2$  каждому значению  $r \neq 0$  отвечают ровно две точки. В  $\mathcal{R}_1$  значению  $r = 0$  отвечает точка  $\omega = 0, \alpha = \{1, 0, 0\}$  нижнего (абсолютного) положения равновесия тела. Для дальнейшего обозначим ее в соответствии со стремлением  $r$  к нулю справа через  $c_+$ . В  $\mathcal{R}_2$  нулевое значение  $r$  приводит к точке  $\omega = 0, \alpha = \{-1, 0, 0\}$  верхнего (абсолютного) положения равновесия. Обозначим ее через  $c_-$ . На множествах (5) определена очевидная симметрия  $\tau : (\omega_1, \alpha_3) \mapsto (-\omega_1, -\alpha_3)$ , которая меняет знак постоянной площадей  $\ell$ , связные множества  $\mathcal{R}_1, \mathcal{R}_2$  переводит в себя, а в множестве  $\mathcal{R}_3$  меняет местами связные компоненты. Устройство семейства множеств  $\mathcal{R}(\lambda)$  проиллюстрировано на рис. 1.

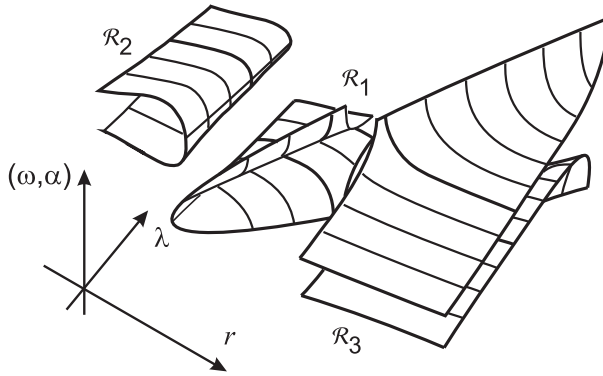


Рис. 1. Поверхности относительных равновесий.

Параметр  $\lambda$  обычно трактуется как физический. Однако гиростат – это система с четырьмя степенями свободы (тело плюс ротор), в которой  $\lambda$  есть константа циклического интеграла, а уравнения Эйлера–Пуассона описывают систему, полученную понижением порядка. Поэтому все исследования каких-либо свойств системы относительно интегральных постоянных естественно проводить в *расширенном* пространстве параметров, включающем ось значений  $\lambda$ . Введем следующее понятие. Если  $\{S = S(\lambda)\}$  – семейство зависящих от параметра  $\lambda$  множеств в  $P^5$ , определим *расширенное множество*

$$\Lambda(S) = \bigcup_{\lambda} S(\lambda) \times \{\lambda\} \subset P^5 \times \mathbb{R} = \{(\omega, \alpha, \lambda) : \omega \in \mathbb{R}^3, \alpha \in S^2, \lambda \in \mathbb{R}\}.$$

Считая  $\lambda > 0$ , случай  $\lambda = 0$  рассматриваем лишь как предельную возможность там, где это явно оговорено. Как следует из предложения 1, множество  $\Lambda(\mathcal{R})$  в части  $\lambda > 0$  гомеоморфно четырем плоскостям и дважды накрывает область  $\mathcal{D} = \{(r, \lambda) \in \mathbb{R}^2 : \lambda > 0, r \neq \lambda\}$ . Фактически это покрытие и показано на рис. 1.

Условимся образы множеств  $\Lambda(\mathcal{R}_i)$  при отображении на плоскость пара-

метров  $(r, \lambda)$  обозначать через  $\delta_i$  ( $i = 1, 2, 3$ ):

$$\begin{aligned}\delta_1 &: \{(r, \lambda) : 0 \leq r < \lambda, \lambda > 0\}, \\ \delta_2 &: \{(r, \lambda) : r \leq 0, \lambda > 0\}, \\ \delta_3 &: \{(r, \lambda) : r > \lambda, \lambda > 0\}.\end{aligned}$$

При дополнительной детализации будем снабжать подмножества этих множеств двойными индексами.

## 2. Классы эквивалентности и типы относительных равновесий.

Напомним некоторые понятия, связанные с классификацией неподвижных точек в интегрируемой системе с двумя степенями свободы [8]. Все объекты предполагаются аналитическими. Система, заданная гамильтонианом  $F$ , обозначается  $\text{sgrad } F$  и в локальных координатах имеет вид

$$\dot{x} = \Omega(x)\nabla F(x), \quad x \in \mathbb{R}^4. \quad (6)$$

Здесь  $\Omega$  – невырожденная кососимметрическая  $4 \times 4$ -матрица, которая определяется симплектической структурой или, как в случае уравнений Эйлера – Пуассона, вырожденной скобкой Пуассона на некотором объемлющем пространстве.

Пусть  $x_0$  – неподвижная точка системы, т.е.  $\nabla F(x_0) = 0$ . Тогда линеаризованная система в точке  $x_0$  задана матрицей

$$A_F = \Omega(x_0)D_F(x_0) \quad \left( D_F = \left\| \frac{\partial^2 F}{\partial x_i \partial x_j} \right\| \right).$$

Хорошо известно, что характеристическое уравнение матрицы  $A_F$  биквадратное, поэтому его корни либо разбиты на две пары, каждая из которых имеет вид  $\pm a$  или  $\pm b i$ , либо составляют четверку  $\pm a \pm b i$ . Пусть  $\det A_F \neq 0$ . Тогда в первом случае  $\mathbb{R}^4$  есть прямая сумма двух инвариантных плоскостей, ограничения на которые линеаризованной системы имеют начало координат седлом или центром. Во втором случае начало координат в  $\mathbb{R}^4$  является фокусной особенностью. В соответствии с этим говорят, что точка  $x_0$  имеет тип “центр-центр” в случае двух пар мнимых корней, “центр-седло” (или “седло-центр”, если важно подчеркнуть порядок следования корней) в случае пары мнимых и пары вещественных корней, “седло-седло” в случае двух пар вещественных корней, “фокус-фокус” в случае четверки комплексных корней. В интегрируемой системе тип точки полностью определяет характер устойчивости: точка типа “центр-центр” устойчива по всем переменным, точка типа “центр-седло” по двум переменным устойчива и по двум – неустойчива, остальные – неустойчивы по всем переменным.

**Замечание 1.** Пусть система (6) изначально задана на некотором объемлющем пространстве (как, например,  $\mathbb{R}^6(\omega, \alpha)$  в случае системы Эйлера – Пуассона), а фактическое фазовое пространство (в нашей задаче –  $P_\ell^4$ ) является совместным уровнем первых интегралов – аннуляторов скобки

Пуассона (в нашем случае это интегралы  $\Gamma$  и  $L$ ). Пусть  $\Phi$  – один из таких интегралов. Тогда  $A_F \nabla \Phi = 0$ , и этот интеграл порождает нулевое собственное значение матрицы  $A_F$ . Поэтому при вычислении собственных чисел оператора  $A_F$  (в отличие от вычисления собственных чисел ограничения оператора  $D_F$  на подмногообразия совместного уровня) интегралы такого рода учитывать не нужно, а следует просто отбросить соответствующее количество нулевых корней характеристического многочлена, которые заведомо существуют. Таким образом, нет необходимости переходить к каким-либо специальным координатам, отвечающим приведенным системам, а все вычисления легко проделать в исходных переменных (в нашем случае – в переменных Эйлера – Пуассона). Говоря далее о собственных значениях операторов вида  $A_F$ , вычисленных в переменных Эйлера – Пуассона, всегда имеем в виду, что два нулевых значения уже отброшены.

Отметим еще одно преимущество перехода от  $D_F$  к  $A_F$  – характеристическое уравнение  $A_F$  зависит не от самой точки  $x_0$ , а от значений первых интегралов в этой точке.

Пусть  $G$  – первый интеграл, независимый с  $F$  почти всюду в окрестности точки  $x_0$  и такой, что  $x_0$  – неподвижная точка для  $\text{sgrad } G$  (последнее заведомо выполнено, если  $\det D_F(x_0) \neq 0$ ).

**Определение 1** [8]. Неподвижная точка  $x_0$  называется невырожденной, если:

- 1°) матрицы  $A_F$  и  $A_G$  линейно независимы;
- 2°) существует линейная комбинация матриц  $A_F$  и  $A_G$ , у которой все четыре собственных значения различны.

Невырожденность позволяет описать топологию интегральных многообразий в окрестности точки  $x_0$  в виде почти прямого произведения атомов одномерных систем. При этом не запрещается “странная” динамика, в которой все точки одного из сомножителей могут оказаться неподвижными. Дополнительное условие  $\det A_F \neq 0$  гарантировало бы, что неподвижная точка изолирована в четырехмерном фазовом пространстве. Ниже показано, что в рассматриваемой задаче в невырожденных точках это условие выполняется. Для краткости вырожденную точку  $x_0$  назовем *сильно* вырожденной, если для нее нарушается условие 1° определения 1, и *слабо* вырожденной в противном случае. Эти термины не являются стандартными, а из сильной вырожденности не следует слабая.

Для уравнений Эйлера – Пуассона 2-форма, индуцированная на  $P^5$  симплектической структурой многообразия  $TSO(3)$ , заведомо вырождена. Введенные понятия необходимо рассматривать с точки зрения систем на  $P_\ell^4$ . Но, как отмечалось, в явном переходе к этим системам, которые сделали бы вычисления необозримыми, нет необходимости. Корректно определены скобки Ли – Пуассона на  $\mathbb{R}^6(\omega, \alpha)$ , поэтому поле  $\text{sgrad } F$ , сопоставленное функции  $F$ , определено уравнениями

$$\dot{\mathbf{M}} = \mathbf{M} \times \frac{\partial F}{\partial \mathbf{M}} + \boldsymbol{\alpha} \times \frac{\partial F}{\partial \boldsymbol{\alpha}}, \quad \dot{\boldsymbol{\alpha}} = \boldsymbol{\alpha} \times \frac{\partial F}{\partial \mathbf{M}}. \quad (7)$$

Здесь  $\mathbf{M} = \mathbf{I}\omega + \lambda$ ,  $\mathbf{I} = \text{diag}\{2, 2, 1\}$ ,  $\lambda = (0, 0, \lambda)$ .

Вернемся к рассматриваемой системе.

**Определение 2.** Будем говорить, что точки  $\xi_1, \xi_2 \in \Lambda(\mathcal{R})$  принадлежат к одному классу, если существует непрерывный путь в  $\Lambda(\mathcal{R})$ , соединяющий  $\xi_1$  с  $\xi_2$  или  $\xi_1$  с  $\tau(\xi_2)$ , вдоль которого тип точки не меняется.

Пусть  $(r, \lambda) \in \mathcal{D}$ . При  $r \neq 0$  и  $\text{sgn } d = \text{sgn } r(r - \lambda)$  обозначим через  $\xi_{\pm}(r, \lambda)$  две точки (3) в  $P^5$ . В соответствии с принятыми ранее обозначениями имеем

$$\lim_{r \rightarrow +0} \xi_{\pm}(r, \lambda) = c_+ \in \mathcal{R}_1, \quad \lim_{r \rightarrow -0} \xi_{\pm}(r, \lambda) = c_- \in \mathcal{R}_2.$$

**Определение 3.** Точку  $(r, \lambda)$  назовем разделяющей, если в любой ее окрестности найдутся образы точек из  $\Lambda(\mathcal{R})$  разных классов.

Обозначим через  $\bar{\pi}$  луч запрещенных точек  $\{r = \lambda, \lambda > 0\}$ , не включенный в  $\mathcal{D}$ . Он является разделяющим, если в качестве области изменения параметров рассматривать всю полуплоскость  $\{\lambda \geq 0\}$ , т.е. замыкание множества  $\mathcal{D}$ . Поскольку  $\xi_1 \in \mathcal{R}_1$  и  $\xi_2 \in \mathcal{R}_2$  не могут принадлежать одному классу, точки вида  $(0, \lambda)$  всегда являются разделяющими. Обозначим полуось  $\{r = 0, \lambda \geq 0\}$  через  $\pi_0$ . Подчеркнем, что точки луча  $\pi_0$  разделяют образы множеств  $\mathcal{R}_1$  и  $\mathcal{R}_2$  при любом  $\lambda$ , но внутри каждого из этих множеств значения  $r = 0$ , как будет ясно ниже, не являются разделяющими за исключением конечного числа точек вида  $(0, \lambda)$ , в которых меняется тип абсолютного равновесия. При  $r \neq 0$  типы точек  $\xi_{\pm}(r, \lambda)$  всегда одинаковы, поэтому точка  $(r, \lambda)$  является разделяющей тогда и только тогда, когда точки  $\xi_{\pm}(r, \lambda)$  вырождены. Для исследования свойства вырожденности будем использовать пару функционально независимых (т.е. независимых почти всюду) первых интегралов  $H$  (гамильтониан) и  $K$  (интеграл Ковалевской – Яхья).

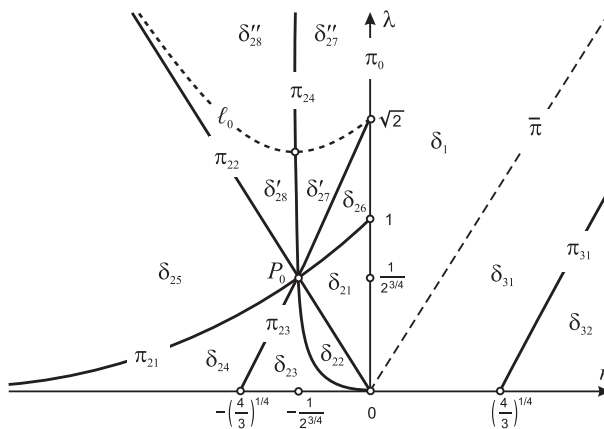


Рис. 2. Разделяющее множество и классы относительных равновесий.

Вычислим характеристический многочлен оператора  $A_H$ . Для этого линеаризуем уравнения (1) или, что то же самое, уравнения (7) с  $F = H$ , после

чего характеристический многочлен  $6 \times 6$ -матрицы линеаризованной системы в подстановке (3) сократим на  $\mu^2$  в соответствии с замечанием 1. Получим  $\chi_H(\mu) = (\mu^2 - \mu_1^2)(\mu^2 - \mu_2^2)$ , где

$$\begin{aligned}\mu_1^2 &= -\frac{1}{4}[(2r - \lambda)(r - \lambda) - d], \\ \mu_2^2 &= -\frac{1}{2(r - \lambda)}[(2r - \lambda)(r - \lambda)r + \lambda d].\end{aligned}\tag{8}$$

Эти величины впервые вычислены в работе [9].

**Теорема 1.** Точки  $\xi_{\pm}(r, \lambda)$  вырождены тогда и только тогда, когда точка  $(r, \lambda) \in \mathcal{D}$  лежит на одной из кривых

$$\begin{aligned}\pi_{21} : \quad & r = \lambda - \frac{1}{\lambda^{1/3}}, \quad 0 < \lambda \leq 1, \\ \pi_{22} : \quad & r = -\lambda, \quad \lambda > 0, \\ \pi_{23} : \quad & r = \frac{\sigma^4 - 4}{2\sigma^3}, \quad \lambda = \frac{3\sigma^4 - 4}{2\sigma^3}, \quad \sigma \in (\sqrt[4]{4/3}, \sqrt{2}], \\ \pi_{24} : \quad & r = \frac{1}{2} \left( \lambda - \sqrt{\lambda^2 + 4\lambda^{2/3}} \right), \quad \lambda > 0, \\ \pi_{31} : \quad & r = \frac{\sigma^4 - 4}{2\sigma^3}, \quad \lambda = \frac{3\sigma^4 - 4}{2\sigma^3}, \quad \sigma \in (-\sqrt[4]{4/3}, 0).\end{aligned}\tag{9}$$

Первый индекс в обозначении кривой соответствует номеру подмножества, т.е. кривая  $\pi_{ij}$  содержится в соответствующем множестве  $\delta_i \subset \mathcal{D}$ . Только кривая  $\pi_{21}$  отвечает точкам сильного вырождения.

Кривые (9) порождают разбиение множества невырожденных относительных равновесий в  $\Lambda(\mathcal{R})$  на 11 классов в смысле определения 2 – прообразов областей  $\delta_1, \delta_{21} - \delta_{28}, \delta_{31}, \delta_{32}$  (рис. 2). Классы в прообразах подобластей  $\delta_1, \delta_{21}, \delta_{26}, \delta_{27}$  связны, остальные имеют по две связных компоненты. В соответствии с обозначениями подобластей относительные равновесия имеют следующие характеристики:

- $\delta_1, \delta_{24}, \delta_{25}, \delta_{28}, \delta_{32} - \mu_1^2 < 0, \mu_2^2 < 0$ , тип “центр-центр”, устойчивы по всем переменным;
- $\delta_{27} - \mu_1^2 < 0, \mu_2^2 > 0$ , тип “центр-седло”, по двум переменным устойчивы, по двум – неустойчивы;
- $\delta_{23}, \delta_{31} - \mu_1^2 > 0, \mu_2^2 < 0$ , тип “седло-центр”, по двум переменным устойчивы, по двум – неустойчивы;
- $\delta_{21}, \delta_{22}, \delta_{26} - \mu_1^2 > 0, \mu_2^2 > 0$ , тип “седло-седло”, неустойчивы по всем переменным.

Нетрудно уточнить утверждения об устойчивости, указав соответствующие направления в фазовом пространстве. Ясно, что таких уточнений требует лишь смешанный тип относительного равновесия, в котором присутствуют как “седло”, так и “центр”. Обозначим трехмерное многообразие, заданное уравнениями (2), сотканное из одномерных траекторий (периодических и

асимптотических к относительному равновесию), через  $\mathcal{M}_1$ . В точке невырожденного относительного равновесия касательное пространство к  $\mathcal{M}_1$  есть сумма прямой, касательной к одномерному семейству относительных равновесий, и плоскости, касательной к уровню интеграла площадей в самом  $\mathcal{M}_1$ , т.е. к пересечению  $\mathcal{M}_1 \cap P_\ell^4$ . Дополнение к трехмерному касательному пространству многообразия  $\mathcal{M}_1$  в пятимерном фазовом пространстве  $P^5$  есть плоскость, и эту плоскость можно выбрать так, что она окажется лежащей в трехмерном касательном пространстве к другому многообразию  $\mathcal{M}_2$  частного решения, найденного в работах [10, 11], а именно, будет касательной плоскостью к уровню интеграла площадей в  $\mathcal{M}_2$ . За устойчивость относительно этой последней плоскости отвечает показатель  $\mu_1^2$  (т.е. он является “внешним” типом относительного равновесия для инвариантного многообразия  $\mathcal{M}_1$ ). Направление прямой (общее для касательных пространств к  $\mathcal{M}_1$  и  $\mathcal{M}_2$ ) является собственным вектором линеаризованной системы с нулевым собственным значением и не учитывается при описании устойчивости (оно трансверсально уровню интеграла площадей). За устойчивость по отношению к направлениям в плоскости, касательной к  $\mathcal{M}_1 \cap P_\ell^4$ , отвечает показатель  $\mu_2^2$ . Таким образом, при  $\mu_1^2 > 0$ ,  $\mu_2^2 < 0$  относительное равновесие устойчиво в  $\mathcal{M}_1$  и неустойчиво в  $\mathcal{M}_2$ , при  $\mu_1^2 < 0$ ,  $\mu_2^2 > 0$ , наоборот, относительное равновесие неустойчиво в  $\mathcal{M}_1$  и устойчиво в  $\mathcal{M}_2$ .

Изображенная на рис. 2 кривая  $\ell_0$  в области  $\delta_2$  задана уравнением

$$\lambda(r - \lambda) + d = 0 \quad (d > 0).$$

Она отвечает случаю, когда в точках  $\xi_\pm(r, \lambda)$  значение интеграла  $L$  равно нулю, т.е. эти точки попадают на один интегральный уровень. Однако, как нетрудно установить из соответствующих аналитических решений для траекторий ранга 1, две точки  $\xi_\pm(r, \lambda)$  и в этом случае принадлежат разным компонентам интегрального многообразия, поэтому ни тип относительного равновесия, ни топологическая структура связной компоненты его насыщенной окрестности при пересечении кривой  $\ell_0$  не изменяются. В то же время ниже будет показано различие в глобальной структуре уровня первых интегралов для подобластей в  $\delta_{27}, \delta_{28}$ , обозначение которых снабжено штрихами.

Доказательство теоремы проведем в виде последовательности утверждений. Обозначим для краткости  $x_0 = \xi_\pm(r, \lambda)$  и пусть

$$B = \nu_1 A_H + \nu_2 A_K, \quad \nu_1^2 + \nu_2^2 \neq 0. \quad (10)$$

Если у такой матрицы  $B$  все собственные числа различны, то она называется *регулярным элементом* (алгебры симплектических операторов [8]). Таким образом, условие 2° в определении невырожденности можно назвать требованием существования регулярного элемента.

**Лемма 1.** *Точки  $x_0$  сильно вырождены тогда и только тогда, когда  $(r, \lambda) \in \pi_{21}$ .*

**Доказательство.** Сильно вырожденная точка отвечает существованию нулевой комбинации  $B$ . Располагая переменные  $i$ , соответственно, элементы

матриц в порядке  $\omega, \alpha$ , приравняем к нулю элемент

$$B_{12} = \frac{1}{2}(r - \lambda) [\nu_1 - 2\nu_2\lambda(Q^2 + \lambda + r)] = 0 \quad (Q^2 = \frac{1}{2} \left[ -r + \frac{1}{r - \lambda}d \right] \neq 0).$$

Отсюда выразим  $\nu_1 = 2\nu_2\lambda(Q^2 + \lambda + r)$  ( $\nu_2 \neq 0$ ). Тогда

$$B = \varkappa \left\| \begin{array}{cccccc} 0 & 0 & 0 & 0 & 0 & 0 \\ 0 & 0 & 0 & 0 & 0 & 0 \\ 0 & -2\sqrt{r} & 0 & 0 & \frac{\lambda + r}{Q(\lambda - r)} & 0 \\ 0 & -2r\sqrt{r} & 0 & 0 & \frac{r(\lambda + r)}{Q(\lambda - r)} & 0 \\ 2r\sqrt{r} & 0 & -\lambda Q & -\frac{r(\lambda + r)}{Q(\lambda - r)} & 0 & \frac{2\lambda\sqrt{r}}{\lambda - r} \\ 0 & 2rQ & 0 & 0 & -\frac{\sqrt{r}(\lambda + r)}{\lambda - r} & 0 \end{array} \right\|,$$

где  $\varkappa = 2\nu_2(\lambda - r)Q(Q^2 + \lambda)$ . Очевидно, матрица в правой части ненулевая, поэтому  $Q^2 + \lambda = 0$ , что равносильно уравнению  $1 + \lambda(r - \lambda)^3 = 0$  с условием  $Q^2 < 0$ . Но  $\text{sgn } Q^2 = \text{sgn}[(r - \lambda)d]$  совпадает с  $\text{sgn } r$  (см. предложение 1). Поэтому из решений уравнения нужно взять только лежащие в  $\delta_2$ , что и дает первую кривую (9).  $\square$

В частности, относительные равновесия сильно вырождены над “узловой” точкой

$$P_0 : \quad r = -2^{-3/4}, \quad \lambda = 2^{-3/4},$$

в которой пересекается пучок разделяющих кривых. Далее для краткости, говоря о слабой вырожденности над разделяющими кривыми, опускаем естественную оговорку “за исключением точки  $P_0$ ”.

**Лемма 2.** *Относительные равновесия над кривой  $\pi_{22}$  слабо вырождены. При этом  $\det A_H \neq 0$ .*

**Доказательство.** Полагая  $r = -\lambda$ , вычислим характеристический многочлен комбинации (10). Получим

$$\chi(\mu) = \left[ \mu^2 + \frac{(Z^2 - 2)(\nu_1 Z + \nu_2)}{2Z^3} \right]^2, \quad Z = \lambda^2 + \sqrt{\lambda^4 + 1}.$$

Поэтому в линейной оболочке операторов  $A_H, A_K$  регулярного элемента нет, нарушено условие 2°. Случай  $Z^2 = 2$  приводит к точке  $P_0$ . В остальных точках  $B \neq 0$ , даже если  $\nu_1 Z + \nu_2 = 0$  и все собственные числа равны нулю. Поэтому имеет место слабая вырожденность.

Положим  $\nu_1 = 1, \nu_2 = 0$ . Получим для многочлена  $\chi_H(\mu)$  при  $\lambda \neq 2^{-3/4}$

$$\mu_{1,2}^2 = -\frac{(Z^2 - 2)Z}{2Z^3} \neq 0,$$

т.е. второй дифференциал ограничения  $H$  на  $P_\ell^4$  в соответствующих точках невырожден.  $\square$

**Лемма 3.** *Относительные равновесия над кривыми  $\pi_{23}, \pi_{24}, \pi_{31}$  слабо вырождены. При этом характеристический многочлен  $A_H$  имеет два нулевых собственных числа.*

Доказательство. Характеристический многочлен комбинации (10) имеет вид

$$\chi(\mu) = \mu^4 - \frac{(\sigma^8 + 2\sigma^4 - 8)[-2\nu_1\sigma^2 + \nu_2(\sigma^4 - 4)]^2}{8\sigma^{10}}\mu^2$$

при условии  $(r, \lambda) \in \pi_{23} \cup \pi_{31}$ . Полагая  $Z = \lambda^{2/3} + \sqrt{4 + \lambda^{4/3}}$ , в точках кривой  $\pi_{24}$  получим

$$\chi(\mu) = \mu^4 + \frac{(Z^2 - 8)(4 + Z^2)\{\nu_2[Z^2(Z^2 - 8)^2 - 64] - 4\nu_1 Z^3\}^2}{512Z^7}\mu^2.$$

Поэтому  $\chi(\mu)$  при всех  $\nu_1, \nu_2$  имеет два нулевых корня, т.е. регулярного элемента нет. В частности, два нулевых собственных числа имеет и сама матрица  $A_H$  (естественно, с учетом замечания 1).  $\square$

Итак, доказана вырожденность относительных равновесий в прообразах всех кривых, перечисленных в формулировке теоремы 1. Это технически наиболее сложная часть доказательства теоремы, так как необходимо доказывать *несуществование* некоторого объекта (регулярного элемента). Примеры явных доказательств вырожденности в литературе на эту тему автору неизвестны. Обычно ограничиваются утверждением об областях невырожденности (достаточными условиями). Здесь такое утверждение получить легко.

**Лемма 4.** *За пределами кривых, перечисленных в теореме 1, относительные равновесия невырождены. При этом во всех таких точках второй дифференциал приведенного гамильтониана невырожден.*

Доказательство. По лемме 1 сильного вырождения в этой области быть не может. В качестве возможного регулярного элемента возьмем саму матрицу  $A_H$ . Она может иметь совпадающие собственные числа лишь в трех случаях  $\mu_1^2 = 0, \mu_2^2 = 0$  или  $\mu_1^2 = \mu_2^2$ . Первое условие при  $r \neq 0$  дает уравнение  $(r - \lambda)(3r - \lambda) = 4$  с условием  $\text{sgn}(2r - \lambda) = \text{sgn } r$ . Отсюда подстановкой  $r = \lambda - \sigma$  получаем параметрические выражения кривых  $\pi_{23}, \pi_{31}$ . При  $r = 0$  из  $\mu_1^2 = 0$  следует  $\lambda = \sqrt{2}, d = 2 > 0$ . Это – граничная точка кривой  $\pi_{23}$ . Случай  $\mu_2^2 = 0$  сводится к уравнению  $r(r - \lambda) = \lambda^{2/3}$ , которое при  $\lambda > 0$  определяет ровно по одной точке в  $\delta_2$  ( $r < 0$ ) и в  $\delta_3$  ( $r > \lambda$ ). В этих областях следует считать  $d > 0$ . Но тогда в области  $\delta_3$  будет  $(2r - \lambda)(r - \lambda)r = -\lambda r < 0$ , что не так. Поэтому допустимым решением здесь является лишь кривая  $\pi_{24}$ .

Вне кривых  $\pi_{23}, \pi_{31}, \pi_{24}$  многочлен  $\chi_H(\mu)$  не имеет нулевых корней, что, в частности, означает невырожденность ограничения второго дифференциала функции  $H$  на фазовое пространство  $P_\ell^4$  соответствующей приведенной системы.

Условие  $\mu_1^2 = \mu_2^2$  за пределами кривой  $\pi_{22}$  дает

$$(2r - \lambda)(r - \lambda) + d = 0.$$

Выполняя подстановку  $r = \lambda - \sigma$ , получим то же параметрическое представление, что и на кривых  $\pi_{23}, \pi_{31}$ , но при  $\sigma \geq \sqrt{2}$  и  $d < 0$ . Характеристический многочлен  $\chi_H(\mu)$  по условию имеет хотя и ненулевые, но попарно совпадающие собственные числа и задачу о невырожденности не решает. Вычислим, однако, характеристический многочлен  $A_K$ :

$$\chi_K(\mu) = \left[ \mu^2 + \frac{(\sigma^4 - 4)^2(4 + \sigma^4)}{\sigma^{14}} \right] \left[ \mu^2 + \frac{(\sigma^4 + 4)(3\sigma^8 - 7\sigma^4 + 4)^2}{\sigma^{14}} \right].$$

При  $\sigma > \sqrt{2}$  все его корни различны, поэтому он представляет собой искомый регулярный элемент. В граничной точке  $\sigma = \sqrt{2}$ , которая соответствует нижнему абсолютному равновесию тела  $c_+$  при  $\lambda = \sqrt{2}$  ( $r = 0, d = -2$ ), многочлен

$$\chi_K(\mu) = (\mu^2 + 36)\mu^2$$

регулярным элементом не является. Однако для комбинации (10) имеем  $\chi(\mu) = (\mu^2 + \nu_1^2) [\mu^2 + (\nu_1 - 6\nu_2)^2]$ . Поэтому при любых  $\nu_1 \neq 0, \nu_2 \neq 0$  матрица  $B$  есть регулярный элемент, и соответствующие точки невырождены.  $\square$

Доказательство теоремы завершается применением лемм 1–4 и непосредственным определением знаков величин (8) в подобластях множества  $\mathcal{D}$ .

### 3. Топология интегральных уровней относительных равновесий.

Пусть  $x$  – точка невырожденного относительного равновесия,  $\ell = L(x)$ . Рассмотрим  $\mathcal{F}_\ell = H \times K : P_\ell^4 \rightarrow \mathbb{R}^2$  – интегральное отображение приведенной системы. Обозначим через  $J(x)$  полный прообраз точки  $\mathcal{F}_\ell(x)$  – критическую интегральную поверхность, а через  $U(x)$  – достаточно малую насыщенную окрестность поверхности  $J(x)$ , не содержащую относительных равновесий с другими значениями отображения  $\mathcal{F}_\ell$ . Поверхность  $J(x)$  может состоять из нескольких связных компонент. Как следует из формул (3), компонента точки  $x$  всегда содержит ровно одно относительное равновесие. Одновременно могут существовать компоненты, содержащие ровно одну критическую окружность. Количество и топология этих компонент устанавливаются по сводке результатов для критических подсистем, приведенных в работе [12]. Рассматривая точку  $x$  в каждой из двух содержащих ее критических подсистем [12], анализируем информацию по прилегающим областям в образе критической подсистемы. Эти области порождают дуги бифуркационной диаграммы отображения  $\mathcal{F}_\ell$  в окрестности точки  $x$ . Структура критического множества в прообразах этих дуг и перестройки в  $U(x)$  при их пересечении находятся по таблицам из [12]. После этого тип круговых молекул самих относительных равновесий и лежащих на том же уровне критических периодических траекторий вместе с метками однозначно устанавливается исходя из исчерпывающего описания круговых молекул невырожденных особенностей низкой сложности [8]. Кроме компонент, содержащих критические точки, в  $J(x)$  могут

входить и регулярные торы, заполненные двояко-периодическими траекториями. Их количество однозначно устанавливается по виду бифуркационной диаграммы, дополненной указанием атомов на дугах.

Таблица

Класс точек	Компонент в прообразе	Особые траектории в прообразе	Диаграмма	Молекулы в прообразе	Регул. торы
$\delta_1$	1	$pCC$		$A \xrightarrow{0} A$	0
$\delta_{25}$	3	$pCC \cup S_E^1$		$A \xrightarrow{0} A$ $A \xrightarrow{\infty} A$	1
$\delta''_{28}, \delta_{32}$	2	$pCC \cup S_E^1$		$A \xrightarrow{0} A$ $A \xrightarrow{\infty} A$	0
$\delta_{24}, \delta'_{28}$	4	$pCC \cup 2S_E^1$		$A \xrightarrow{0} A$ $A \xrightarrow{\infty} A$ $A \xrightarrow{\infty} A$	1
$\delta_{23}, \delta'_{27}$	2	$pCS \cup S_H^1$			0
$\delta_{31}, \delta''_{27}$	1	$pCS$			0
$\delta_{22}, \delta_{26}$	1	$pSS$			0
$\delta_{21}$	1	$pSS$			0

Результат топологической классификации приведен в таблице. Для круговых молекул указаны только  $r$ -метки с единственной целью – отличить

молекулы относительных равновесий типа “центр-центр” (метка  $r = 0$ ) от молекул лежащих на том же уровне эллиптических периодических траекторий (метка  $r = \infty$ ). В действительности же, здесь все метки (включая  $\varepsilon$ ,  $n$ -метки) выставляются автоматически в соответствии с [8].

На фрагментах диаграммы в окрестности относительного равновесия указаны атомы, возникающие на критических окружностях при пересечении дуг диаграммы. Здесь встречаются лишь атомы типов  $A, B, A^*, C_2$ . Для несимметричных атомов стрелкой указано направление возрастания числа торов. Само это число в регулярных областях указано в рамке. При описании особых траекторий (сингулярной компоненты интегрального многообразия)  $p_{CC}$  – это неподвижная точка типа “центр-центр”,  $p_{CS}$  – критическое многообразие неподвижной точки типа “центр-седло” – восьмерка,  $p_{SS}$  – критическое многообразие неподвижной точки типа “седло-седло” – две восьмерки с общей центральной точкой и приклеенные к ним четыре прямоугольника, заполненных асимптотическими траекториями из регулярных точек (правило склейки полностью определено соответствующей круговой молекулой). Через  $S_E^1$  обозначена периодическая траектория эллиптического типа, исчерпывающая соответствующую связную компоненту, а через  $S_H^1$  – поверхность периодической траектории гиперболического типа, отвечающая атому типа  $B$  (прямое произведение восьмерки на окружность). Полученная классификация по количеству классов и по виду круговых молекул полного прообраза значения отображения момента в относительных равновесиях отличается от результатов, представленных недавно в [13]. Ввиду отсутствия в цитируемой работе точного определения принципа классификации детальное сопоставление результатов не проводилось.

**Заключение.** Сформулируем кратко результаты классификации относительных равновесий случая Ковалевской – Яхья.

1) В фазовом пространстве  $P^5 = \mathbb{R}^3 \times S^2$  при любом  $\lambda > 0$  множество относительных равновесий  $\mathcal{R}(\lambda)$  однопараметрическое, имеет четыре связных компоненты. Две из них сохраняются симметрией  $\tau$ , меняющей знак интеграла площадей, две остальных симметричны друг другу.

2) Объявляя эквивалентными в расширенном множестве  $\cup_\lambda(\mathcal{R}(\lambda), \lambda)$  относительные равновесия, которые можно перевести друг в друга непрерывным изменением параметров или симметрией  $\tau$  с сохранением топологии связной насыщенной окрестности, получим 11 классов эквивалентности. Разделяющие кривые в пространстве параметров и типы относительных равновесий в классах определены в теореме 1. Для связных окрестностей относительных равновесий имеется четыре вида круговых молекул.

3) Требуя сохранения при непрерывном изменении параметров полного уровня первых интегралов, отвечающего относительному равновесию, приходим к 13 классам. Для таких интегральных многообразий получаем семь различных сочетаний круговых молекул на одном уровне без учета наличия регулярных торов, и восемь – с учетом этого наличия (два последних столбца таблицы).

1. *Yehia H.M.* New integrable cases in the dynamics of rigid bodies // *Mech. Res. Commun.* – 1986. – **13**, 3. – P. 169-172.
2. *Харламов М.П., Харламова И.И., Шведов Е.Г.* Бифуркационные диаграммы на изоэнергетических уровнях гиростата Ковалевской–Яхья // *Механика твердого тела.* – 2010. – № 40. – С. 77-90.
3. *Горр Г.В., Мазнев А.В.* Динамика гиростата, имеющего неподвижную точку // *Донецк: Изд-во ДонНУ.* – 2010. – 365 с.
4. *Гашененко И.Н.* Новый класс движений тяжелого гиростата // *Докл. АН СССР.* – 1991. – **318**, 1. – С. 66-68.
5. *Малаха А.Е.* Об одном классе асимптотических движений гиростата Ковалевской // *Механика твердого тела.* – 1997. – № 29. – С. 7-10.
6. *Харламов П.В.* Лекции по динамике твердого тела. – Изд-во НГУ. – 1965. – 221 с.
7. *Гашененко И.Н.* Бифуркационное множество задачи о движении гиростата, подчиненного условиям Ковалевской // *Механика твердого тела.* – 1995. – № 27. – С. 31-35.
8. *Болсинов А.В., Фоменко А.Т.* Интегрируемые гамильтоновы системы. Геометрия, топология, классификация // *Ижевск: Изд-во РХД.* – 1999. Т. 1,2.
9. *Рябов П.Е.* Аналитическая классификация особенностей интегрируемого случая Ковалевской–Яхья // *Вестник УдГУ.* – 2010. – № 4. – С. 25-30.
10. *Харламова Е.И., Харламов П.В.* Новое решение дифференциальных уравнений движения тела, имеющего неподвижную точку, при условиях С.В. Ковалевской // *Доклады АН СССР.* – 1969. – **189**, 5. – С. 967-968.
11. *Харламов П.В.* Один случай интегрируемости уравнений движения твердого тела, имеющего неподвижную точку // *Механика твердого тела.* – 1971. – № 3. – С. 57-64.
12. *Харламов М.П., Рябов П.Е.* Диаграммы Смейла–Фоменко и грубые инварианты Ковалевской–Яхья // *Вестник УдГУ.* – 2011. – № 4. – С. 40–59.
13. *Логачева Н.С.* Классификация невырожденных положений равновесия и вырожденных одномерных орбит интегрируемой системы Ковалевской–Яхья // *Матем. сб.* – 2012. – **203**, 1. – С. 31–60.

## Analytical classification of the permanent rotations of the Kowalevski–Yehia gyrostat

**M.P. Kharlamov**

The complete investigation of the permanent rotations of a gyrostat in the integrable case of Kowalevski–Yehia is presented. The notion of equivalence classes is given with respect to the defining parameters, the separating set is constructed. For each class the type of a singularity is calculated as the type of a fixed point in the reduced system. The detailed character of stability is obtained, and the structure of local Liouville foliation is shown.

**Keywords:** *permanent rotations, type of singularity, stability, loop molecule.*

## Аналитична класифікація рівномірних обертань гіростата Ковалевської–Яхья

**М.П. Харламов**

Представлено повне дослідження безлічі рівномірних обертань гіростата в разі інтегрованості Ковалевської–Яхья. Введено поняття класів еквівалентності відносно визначальних параметрів, побудована розділяюча безліч. Для кожного класу обчислений тип особливості як тип нерухомої точки в приведеній системі, отриманий детальний характер стійкості, вказана структура локального шарування Ліувіля.

**Ключові слова:** *рівномірні обертання, тип особливості, стійкість, кругова молекула.*

*Волгоградский филиал РАНХиГС, Россия*  
mharlamov@vags.ru

Получено 11.08.12